

РАСПРОСТРАНЕНИЕ ИМПУЛЬСА ДАВЛЕНИЯ В УПРУГОЙ ПОЛУБЕСКОНЕЧНОЙ КОАКСИАЛЬНОЙ ЦИЛИНДРИЧЕСКОЙ ОБОЛОЧКЕ С ЖИДКОСТЬЮ

Исследуется распространение неустановившихся гидроупругих волн вдоль слоя жидкости между упругой внешней и жесткой внутренней цилиндрическими оболочками. Жидкость предполагается вязкой сжимаемой, материал оболочки – вязкоупругим. Движение оболочки описывается уравнениями Кирхгофа – Лява, а движение жидкости – уравнениями, осредненными по радиальной координате. Задача решается на основе интегрального преобразования Лапласа по времени с последующим численным обращением. Проводится анализ распространения импульса давления.

Распространение гидроупругих волн в цилиндрической оболочке, заполненной жидкостью, представляет большой научный и практический интерес как в инженерных приложениях, так и в гемодинамике. И не случайно эта проблема была предметом многочисленных исследований применительно к гемодинамике [3, 4, 6–11], в частности, отметим [8], где приведена обширная литература, характеризующая состояние проблемы.

В работе [2] рассматриваются задачи распространения волн в жидкости, находящейся между коаксиальными цилиндрическими оболочками. В этих задачах жидкость рассматривалась несжимаемой, что ограничивает анализ спектра частот рамками основного типа колебаний. Однако в общем случае при рассмотрении колебаний основного типа нельзя полностью исключить влияние сжимаемости плотной жидкости на движение оболочки. В наибольшей степени сжимаемость проявляется при осесимметричных колебаниях системы.

В отличие от многочисленных предыдущих исследований, относящихся к распространению волн в оболочке с жидкостью, здесь рассматривается задача со вставкой и, в отличие от работы [2], в которой жидкость предполагалась несжимаемой и идеальной, здесь учитываются вязкость и сжимаемость жидкости и, кроме того, материал оболочки рассматривается вязкоупругим. Различные применяемые модели вязкоупругости представлены в [9].

1. Постановка задачи. Движение оболочки описывается уравнениями теории оболочек Кирхгофа – Лява с учетом вязкоупругих свойств согласно модели Кельвина – Фойгта. В случае осесимметричных колебаний система связанных уравнений для перемещений оболочки записывается в виде

$$\begin{aligned} & \left(\frac{E}{1-\nu_0^2} + \frac{4\eta(3\xi + \eta)}{3\xi + 4\eta} \frac{\partial}{\partial t} \right) h \frac{\partial^2 u_x}{\partial x^2} - \\ & - \left(\frac{E\nu_0}{1-\nu_0^2} + \frac{2\eta(3\xi + 2\eta)}{3\xi + 4\eta} \frac{\partial}{\partial t} \right) \frac{h}{R} \frac{\partial u_r}{\partial x} = \rho_0 h \frac{\partial^2 u_x}{\partial t^2} + N_x; \\ & \left(\frac{E\nu_0}{1-\nu_0^2} + \frac{2\eta(3\xi + 2\eta)}{3\xi + 4\eta} \frac{\partial}{\partial t} \right) \frac{h}{R} \frac{\partial u_x}{\partial x} - \\ & - h \left(\frac{E}{1-\nu_0^2} + \frac{4\eta(3\xi + \eta)}{3\xi + 4\eta} \frac{\partial}{\partial t} \right) \left(\frac{h^2}{12} \frac{\partial^4}{\partial x^4} + \frac{1}{R^2} \right) u_r = \rho_0 h \frac{\partial^2 u_r}{\partial t^2} + N_r, \quad (1) \end{aligned}$$

где x – продольная координата ($x \geq 0$); t – время; u_x – продольное перемещение; u_r – радиальное перемещение; R – радиус внешней оболочки;

h – толщина стенки; E – модуль Юнга; ν_0 – коэффициент Пуассона; η и ξ – коэффициенты вязкости стенки оболочки; ρ_0 – плотность материала оболочки.

Силы N_x и N_r , действующие на стенку со стороны жидкости, выражаются формулами

$$\begin{aligned} N_x &= \mu \left(\frac{\partial v_x}{\partial r} + \frac{\partial v_r}{\partial x} \right) \Big|_{r=R}, \\ N_r &= \left[-p + \lambda \left(\frac{\partial v_r}{\partial r} + \frac{\partial v_x}{\partial x} + \frac{v_r}{r} \right) + 2\mu \frac{\partial v_r}{\partial r} \right] \Big|_{r=R}, \end{aligned} \quad (2)$$

где p – давление; v_x, v_r – компоненты скорости; μ и λ – коэффициенты вязкости жидкости. Эти силы определяются из решений уравнений гидродинамики.

Движение жидкости описывается уравнениями Навье – Стокса в цилиндрической системе координат r, θ, x . В случае осесимметричных движений система связанных уравнений для продольной и радиальной скоростей записывается в виде

$$\begin{aligned} \frac{\partial v_x}{\partial t} + v_x \frac{\partial v_x}{\partial x} + v_r \frac{\partial v_r}{\partial r} + \frac{1}{\rho} \frac{\partial p}{\partial x} &= \nu \left[\frac{4}{3} \frac{\partial^2 v_x}{\partial x^2} + \frac{\partial^2 v_x}{\partial r^2} + \right. \\ &\left. + \frac{1}{r} \frac{\partial v_x}{\partial r} + \frac{1}{3} \frac{\partial}{\partial x} \left(\frac{\partial v_r}{\partial r} + \frac{v_r}{r} \right) \right], \\ \frac{\partial v_r}{\partial t} + v_r \frac{\partial v_r}{\partial r} + v_x \frac{\partial v_r}{\partial x} + \frac{1}{\rho} \frac{\partial p}{\partial r} &= \nu \left[\frac{4}{3} \frac{\partial^2 v_r}{\partial r^2} + \frac{4}{3r} \frac{\partial v_r}{\partial r} - \right. \\ &\left. - \frac{4}{3} \frac{v_r}{r^2} + \frac{\partial}{\partial x} \left(\frac{1}{3} \frac{\partial v_x}{\partial r} + \frac{\partial v_r}{\partial x} \right) \right], \end{aligned} \quad (3)$$

где ν – кинематический коэффициент вязкости; ρ – плотность жидкости.

Уравнение неразрывности имеет вид

$$\frac{\partial \rho}{\partial t} + \rho \frac{\partial v_r}{\partial r} + \rho \frac{v_r}{r} + \rho \frac{\partial v_x}{\partial x} + v_r \frac{\partial \rho}{\partial r} + v_x \frac{\partial \rho}{\partial x} = 0. \quad (4)$$

Выпишем граничные условия. Условия совместности движения упругой стенки оболочки с примыкающими к ней частицами жидкости имеют вид

$$v_r = \frac{\partial u_r}{\partial t}, \quad v_x = \frac{\partial u_x}{\partial t} \quad \text{при} \quad r = R. \quad (5)$$

На поверхности внутренней жесткой цилиндрической вставки выполняются условия прилипания

$$v_r = 0, \quad v_x = 0 \quad \text{при} \quad r = R_1, \quad (6)$$

где R_1 – радиус внутренней вставки, $R_1 < R$.

Граничные условия на торце оболочки задаются в виде

$$\frac{\partial u_x}{\partial x} \Big|_{x=0} = 0, \quad u_r \Big|_{x=0} = 0, \quad \frac{\partial^2 u_r}{\partial x^2} \Big|_{x=0} = 0. \quad (7)$$

В этом случае в сечении $x = 0$ равны нулю продольные напряжения, радиальное перемещение и изгибающий момент (свободное опирание). В жидкости в сечении $x = 0$ равно нулю дополнительное давление, создаваемое деформацией оболочки.

На поверхность жидкости в сечении $x = 0$ действует заданное давление

$$p|_{x=0} = f(t). \quad (8)$$

Начальные условия принимаются нулевыми:

$$\begin{aligned} v_r|_{t=0} = v_x|_{t=0} = 0, \quad p|_{t=0} = 0, \\ u_x|_{t=0} = u_r|_{t=0} = 0, \quad \frac{\partial u_x}{\partial t}|_{t=0} = \frac{\partial u_r}{\partial t}|_{t=0} = 0. \end{aligned} \quad (9)$$

Условия регулярности формулируются в виде

$$v_x = v_r = u_x = u_r \rightarrow 0, \quad p \rightarrow 0 \quad \text{при} \quad x \rightarrow \infty. \quad (10)$$

2. Метод решения. Принимая во внимание допущения относительно потока жидкости в оболочке [1, 11] и учитывая допущение, что жидкость при сжатии подчиняется закону Гука [1], т. е. объемный модуль упругости $K = \rho(\partial p/\partial \rho)$, можно получить соотношение

$$\frac{1}{\rho} \frac{\partial \rho}{\partial t} = \frac{1}{K} \frac{\partial p}{\partial t}.$$

При таких предположениях приходим к следующим уравнениям:

$$\frac{\partial v_x}{\partial t} + \frac{1}{\rho} \frac{\partial p}{\partial x} = v \left(\frac{\partial^2 v_x}{\partial r^2} + \frac{1}{r} \frac{\partial v_x}{\partial r} \right), \quad (11)$$

$$\frac{1}{K} \frac{\partial p}{\partial t} + \frac{\partial v_r}{\partial r} + \frac{v_r}{r} + \frac{\partial v_x}{\partial x} = 0. \quad (12)$$

Введем среднюю скорость V в слое жидкости между оболочками, которая определяется зависимостью

$$\pi(R^2 - R_1^2)V = \int_{R_1}^R 2\pi r v_x dr. \quad (13)$$

Здесь предполагается интегрирование в пределах невозмущенной области $[R_1, R]$ вместо $[R_1, R + u_r(x, t)]$.

Уравнение (12) после осреднения по переменной r в пределах $[R_1, R]$ с учетом (13) принимает вид

$$\frac{1}{K} \frac{\partial p}{\partial t} + \frac{\partial V}{\partial x} + \frac{2R}{R^2 - R_1^2} \frac{\partial u_r}{\partial t} = 0. \quad (14)$$

Преобразуя аналогичным образом уравнение движения (12) и обозначая через $2aV$ член, характеризующий сопротивление трения, получаем

$$\frac{\partial V}{\partial t} + \frac{1}{\rho} \frac{\partial P}{\partial x} - 2aV = 0. \quad (15)$$

В соответствии с гипотезой квазистационарности при неустановившемся движении вязкой ньютоновской жидкости сохраняются характеристики сопротивления, установленные для стационарного движения. Коэффициент $2a$ в уравнении (15) в этом случае будет

$$2a = \frac{4\nu}{b}(R^2 - R_1^2)V,$$

где

$$b = -\frac{1}{2}(R^4 - R_1^4) + a_2 \left[\frac{1}{2}(R^2 \ln R - R_1^2 \ln R_1) - \frac{1}{4}(R^2 - R_1^2) \right] - \frac{1}{2}a_3(R^2 - R_1^2),$$

$$a_2 = \frac{R^2 - R_1^2}{\ln R - \ln R_1}, \quad a_3 = \frac{R^2 \ln R_1 - R_1^2 \ln R}{\ln R_1 - \ln R}.$$

При этом полагается, что прогибы оболочки малы в сравнении с радиусом R .

В дальнейшем вводятся безразмерные величины по формулам

$$\begin{aligned} \bar{x} &= \frac{x}{R}, & \tau &= \frac{\nu \text{Re}}{R^2} t, & \bar{u}_x &= \frac{u_x}{R}, & \bar{u}_r &= \frac{u_r}{R}, & \bar{V} &= \frac{V}{v_0}, & \bar{P} &= \frac{P}{\rho v_0^2}, \\ a &= \frac{\rho v_0^2}{K}, & A &= k \frac{3\xi + \eta}{3\xi + 4\eta}, & B &= k \frac{3\xi + 2\eta}{3\xi + 4\eta}, & k &= 2\eta \frac{v_0}{R} \frac{1 - v_0^2}{E}, \\ U &= \frac{v_0}{c_0}, & c_0^2 &= \frac{E}{\rho_0(1 - v_0^2)}, & k_0 &= \frac{\rho_0}{\rho} \frac{R}{h} U^2, \end{aligned} \quad (16)$$

где v_0 – характерная скорость течения; Re – число Рейнольдса.

В безразмерном виде в соответствии с (16) система уравнений гидроупругости принимает следующий вид:

– для оболочки

$$\begin{aligned} \left(1 + 2A \frac{\partial}{\partial \tau}\right) \frac{\partial^2 \bar{u}_x}{\partial \bar{x}^2} - \left(v_0 + B \frac{\partial}{\partial \tau}\right) \frac{\partial \bar{u}_r}{\partial \bar{x}} &= U^2 \frac{\partial^2 \bar{u}_x}{\partial \tau^2} - \frac{4k_0}{\text{Re}} \bar{V}, \\ \left(v_0 + B \frac{\partial}{\partial \tau}\right) \frac{\partial \bar{u}_x}{\partial \bar{x}} - \left(1 + 2A \frac{\partial}{\partial \tau}\right) \left(\frac{1}{12} \frac{h_2}{R^2} \frac{\partial^4}{\partial \bar{x}^4} + 1\right) \bar{u}_r &= U^2 \frac{\partial^2 \bar{u}_r}{\partial \tau^2} - k_0 \bar{P}, \end{aligned}$$

– для жидкости

$$\begin{aligned} \frac{\partial \bar{V}}{\partial \tau} + \frac{\partial \bar{P}}{\partial \bar{x}} &= -\frac{8}{\text{Re}} \cdot \frac{\bar{V} \ln R_0}{\ln R_0 + (1 - \ln R_0)(R_0^2 - 1)}, \\ \frac{\partial \bar{V}}{\partial \bar{x}} + a \frac{\partial \bar{P}}{\partial \tau} - \frac{2}{R_0^2 - 1} \frac{\partial \bar{u}_r}{\partial \tau} &= 0, \quad R_0 = \frac{R_1}{R}. \end{aligned}$$

Для решения задачи применяем преобразование Лапласа по времени τ :

$$f^L(s, \bar{x}) = \int_0^\infty \bar{f}(\tau, \bar{x}) e^{-s\tau} d\tau,$$

где s – параметр преобразования Лапласа. После некоторых преобразований из системы уравнений (1), (2), (5), (6) с учетом начальных условий (9) для давления p^L получаем следующее уравнение:

$$n_1 \frac{d^8 p^L}{dx^8} + n_2 \frac{d^6 p^L}{dx^6} + n_3 \frac{d^4 p^L}{dx^4} + n_4 \frac{d^2 p^L}{dx^2} + n_5 p^L = 0. \quad (17)$$

Здесь

$$\begin{aligned} n_1 &= -a_1 a_4 m, & n_2 &= s^2 a_4 m U^2 + \frac{1}{2} a a_1 a_4, & n_3 &= m(a_2^2 - a_1 a_5) - \frac{1}{2} a s^2 a_4 U^2, \\ n_4 &= m a_5 s^2 U^2 - \frac{1}{2} a(a_2^2 - a_1 a_5) + 2 m s a_2 b_1 \bar{B} + k_0 a_1 \bar{B}, \\ n_5 &= -k_0 s^2 U^2 \bar{B} - \frac{1}{2} a a_5 s^2 U^2, & a_1 &= 1 + 2sA, & a_2 &= -(v_0 + sB), \\ a_4 &= a_1 \frac{h^2}{12R^2}, & a_5 &= a_1 + s^2 U^2, & b_1 &= -4 \frac{R_0}{Rc}, & m &= \frac{(1 + \bar{A}) \text{Re}}{2s(s \text{Re} - 8)}, \\ \bar{A} &= R_0^2 - \frac{1 - R_0^2}{\ln R_0}, & \bar{B} &= \frac{1}{1 - R_0^2}. \end{aligned}$$

С учетом условий убывания искоемых функций при $\bar{x} \rightarrow \infty$ решение уравнения (17) записывается в виде

$$p^L(s, \bar{x}) = e^{k_1 \bar{x}} (A_1 \cos k_2 \bar{x} + A_2 \sin k_2 \bar{x}) + e^{k_3 \bar{x}} (A_3 \cos k_4 \bar{x} + A_4 \sin k_4 \bar{x}), \quad (18)$$

где k_i , $i = 1, \dots, 4$, – комплексно-сопряженные корни характеристического уравнения, соответствующие дифференциальному уравнению (17). Скорости и перемещения определяются аналогично.

Подставляя решения в граничные условия (7), (8), получаем систему уравнений для определения коэффициентов A_1, A_2, A_3, A_4 :

$$\begin{aligned} A_1 + A_3 &= f^L(s), \\ \left[-m \frac{a_4}{a_2} (k_1^6 - k_2^6 + 6k_1^2 k_2^4 - 15k_1^4 k_2^2) + \frac{aa_4}{2a_2} (k_1^4 + k_2^4 - 6k_1^2 k_2^2) - \right. \\ &\quad \left. - m \frac{a_5}{a_2} (k_1^2 - k_2^2) + \frac{aa_5 + 2k_0}{2a_2} \right] A_1 + \left[-m \frac{a_4}{a_2} (20k_1^3 k_2^3 - 6k_1^5 k_2 - \right. \\ &\quad \left. - 6k_1 k_2^5) + \frac{aa_4}{2a_2} (4k_1 k_2^3 - 4k_1^3 k_2) + 2m \frac{a_5}{a_2} k_1 k_2 \right] A_2 + \\ &\quad + \left[-m \frac{a_4}{a_2} (k_3^6 - k_4^6 + 6k_3^2 k_4^4 - 15k_3^4 k_4^2) + \frac{aa_4}{2a_2} (k_3^4 + k_4^4 - 6k_3^2 k_4^2) - \right. \\ &\quad \left. - 2m \frac{a_5}{a_2} (k_3^2 - k_4^2) + \frac{aa_5 + 2k_0}{2a_2} \right] A_3 + \left[-m \frac{a_4}{a_2} (20k_3^3 k_4^3 - 6k_3^5 k_4 - \right. \\ &\quad \left. - 6k_3 k_4^5) + \frac{aa_4}{2a_2} (4k_3 k_4^3 - 4k_3^3 k_4) + 2m \frac{a_5}{a_2} k_3 k_4 \right] A_4 = 0, \\ \left[(k_1^2 - k_2^2)m - \frac{a}{2} \right] A_1 - 2k_1 k_2 m A_2 + \left[(k_3^2 - k_4^2)m - \frac{a}{2} \right] A_3 - 2k_3 k_4 m A_4 &= 0, \\ \left[(k_1^4 - k_2^4 - 6k_1^2 k_2^2)m - \frac{a}{2} (k_1^2 - k_2^2) \right] A_1 + [(4k_1 k_2^3 - 4k_1^3 k_2)m + \\ &\quad + ak_1 k_2] A_2 + \left[(k_3^4 + k_4^4 - 6k_3^2 k_4^2)m - \frac{a}{2} (k_3^2 - k_4^2) \right] A_3 + \\ &\quad + [(4k_3 k_4^3 - 4k_3^3 k_4)m + ak_3 k_4] A_4 = 0. \end{aligned}$$

3. Численные расчеты и анализ результатов. Полученные решения задачи гидроупругости исследовались для начального импульса вида

$$\bar{P}|_{x=0} = C \tau^2 e^{-\alpha \tau}, \quad (19)$$

где $C = 2.432 \cdot 10^{-4}$, $\alpha = 0.018$. Численное обращение преобразования Лапласа осуществлялось на основе рядов Фурье по синусам [5] при следующих значениях параметров:

$$U = 0.02191, \quad Re = 230, \quad A = 4.073, \quad B = 5.431,$$

$$k_0 = 0.6, \quad a = 0.2178 \cdot 10^{-4}, \quad k = 8.1459.$$

Некоторые результаты расчетов представлены на рис. 1 и рис. 2 в сечениях $\bar{x} = 100$ и $\bar{x} = 200$ соответственно. Здесь показаны изменения им-

пульса давления $\bar{P} = \frac{1}{v_0^2} P$ в зависимости от времени τ относительно начального импульса (19), заданного в сечении $\bar{x} = 0$ (кривые 0). Кривые 1 на рисунках соответствуют распределению давления для оболочки, полностью заполненной жидкостью ($R_1 = 0$). Кривые 2 соответствуют распределению давления при наличии в жидкости жесткой вставки, причем $R_0 = R_1/R = 0.5$.

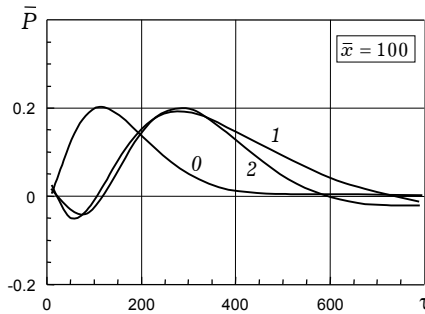


Рис. 1

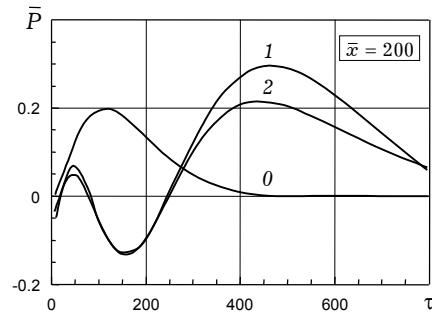


Рис. 2

Из сопоставления результатов распространения импульса давления в различных сечениях видно, что наличие жесткой оболочки проявляется на более значительном удалении от начала приложения импульса.

Из полученных результатов следует также, что наличие жесткой оболочки приводит к уменьшению импульса давления по сравнению с системой без нее. Оболочка свободно оперта и поэтому на небольших расстояниях импульс мало развит (рис. 1), а при увеличении расстояния от входа давление повышается, а затем при дальнейшем распространении убывает. Давление затухает быстрее в полной оболочке на начальном этапе по сравнению с коаксиальной.

1. Вольмир А. С. Устойчивость деформируемых систем. – Москва: Наука, 1967. – 984 с.
2. Мнев Е. Н., Перцев А. К. Гидроупругость оболочек. – Ленинград: Судостроение, 1970. – 365 с.
3. Селезов И. Т. Исследование неустановившихся волновых движений в гидроупругих системах оболочка – жидкость // Прикл. проблемы механики тонкостенных конструкций. – Москва: Изд-во Моск. ун-та, 2000. – С. 286–305.
4. Селезов И. Т. Моделирование волновых и дифракционных процессов в сплошных средах. – Киев: Наук. думка, 1989. – 204 с.
5. Doetsch T. Anleitung zum praktischen Gebrauch der Laplace-Transformation. – München: R. Oldenbourg, 1956.
То же: Деч Г. Руководство к практическому применению преобразования Лапласа. – Москва: Наука, 1965. – 287 с.
6. Maxwell J. A., Anliker A. M. The dissipation and dispersion of small waves in arteries and veins with viscoelastic wall properties // Biophys. – 1968. – 8. – P. 920–950.
7. Moodie E. B., Barday D. W., Tait R. T. A boundary value problems for fluid-filled viscoelastic tubes // Math. Model. – 1983. – 4. – P. 195–207.
8. Selezov I., Avramenko O., Fratamico G., Pallotti G., Pettazzoni P. Stress concentration due to advancing heart pulse through a blood vessel joint // J. Mech. in Med. and Biol. – 2001. – 1, No. 2. – P. 79–96.
9. Selezov I., Pallotti G., Fratamico G., Pettazzoni P. Viscoelasticity with permanent deformation in investigation of pulse propagation in blood vessels // J. Mech. in Med. and Biol. – 2001. – 1, No. 2. – P. 139–152.
10. Selezov I. T. Wave processes in fluids and elastic media // Int. J. Fluid Mech. Research. – 2003. – 30, No. 2. – P. 219–249.
11. Selezov I. T., Zvonareva O. V. Modeling of transient hydroelastic waves in a fluid-filled cylindrical shell // Доп. НАН України. – 1999. – № 7. – С. 66–71.

ПОШИРЕННЯ ІМПУЛЬСУ ТИСКУ В ПРУЖНІЙ НАПІВСКІНЧЕНІЙ КОАКСІАЛЬНІЙ ЦИЛІНДРИЧНІЙ ОБОЛОНЦІ З РІДИНОЮ

Досліджується поширення неусталених гідропружних хвиль вздовж шару рідини між пружною зовнішньою і жорсткою внутрішньою циліндричними оболонками. Рідина припускається в'язкою і стисливою, матеріал оболонки – в'язкопружним. Рух оболонки описується рівняннями Кірхгофа – Лява, рух рідини – рівняннями, усередненими за радіальною координатою. Задача розв'язується за допомогою інтегрального перетворення Лапласа за часом з наступним чисельним оберненням. Проведено аналіз поширення імпульсу тиску.

PRESSURE PULSE PROPAGATION IN ELASTIC SEMI-INFINITE COAXIAL CYLINDRICAL SHELL WITH FLUID

Propagation of unsteady hydroelastic waves along a fluid layer between the elastic outer and rigid inner cylindrical shells is investigated. The fluid is assumed to be viscous compressible, the shell material – viscoelastic. The shell motion is governed by the Kirchhoff – Love equations and the fluid motion – by the equations averaged over a radial coordinate. The problem is solved on the basis of the integral Laplace time transform with consequent numerical inversion. The analysis of pressure pulse propagation is presented.

¹ Ін-т гидромеханики НАН України, Киев,

² Ун-т ж.-д. транспорта, Днепропетровск

Получено
20.09.06